

## Л и т е р а т у р а

1. Воробьева Е.А., Бобков А.О., Коваленко Н.С. Итурупское землетрясение 21 мая 1986 года: Препр. ИМГИГ ДВНЦ АН СССР. Южно-Сахалинск: 1986. 33 с.
2. Айтакман Н.Я., Желанкина Т.С., Кейлис-Борок В.И. и др. Массовое определение механизмов очагов землетрясений на ЭЭМ // Теория и анализ сейсмологических наблюдений. М.: Наука, 1979. С. 45-58.
3. Балакина Л.М., Введенская А.В., Голубова Н.В. и др. Методика определения механизма очага землетрясения // Поле упругих напряжений Земли и механизам очага землетрясений. М.: Наука, 1972. С. 22-45.
4. Шебалин Н.В. Методы использования инженерно-сейсмологических данных при сейсмическом районировании // Сейсмическое районирование ССР. М.: Наука, 1968. С. 25-32.
5. Шебалин Н.В. Осаги сильных землетрясений на территории ССР. М.: Наука, 1974. С. 53.
6. Рудик М.И., Поплавская Л.Н. Механизм очага и параметры макросейсмического источника // Сейсмическое районирование Курильских островов, Приморья и Приамурья. Владивосток, 1977. С. 40-47.
7. Поплавская Л.Н. Теоретические изосейсты Курильских и Охотоморских землетрясений // Сейсмическое районирование Курильских островов, Приморья и Приамурья. Владивосток, 1977. С. 55-62.

УДК 550.348.438 (571.66)

С.А.Федотов, В.М.Зобин, Е.И.Гордеев, Е.И.Иванова,  
Т.С.Лепская, В.П.Митякин, Л.Г.Синельников, В.Н.Чиркова

### ЗЕМЛЕТРЯСЕНИЯ КАМЧАТКИ И КОМАНДОРСКИХ ОСТРОВОВ

Региональная сеть сейсмических станций претерпела изменения — закрыта одна станция Карымский. Методика обработки материалов наблюдений региональной сети изложена в Г.1.

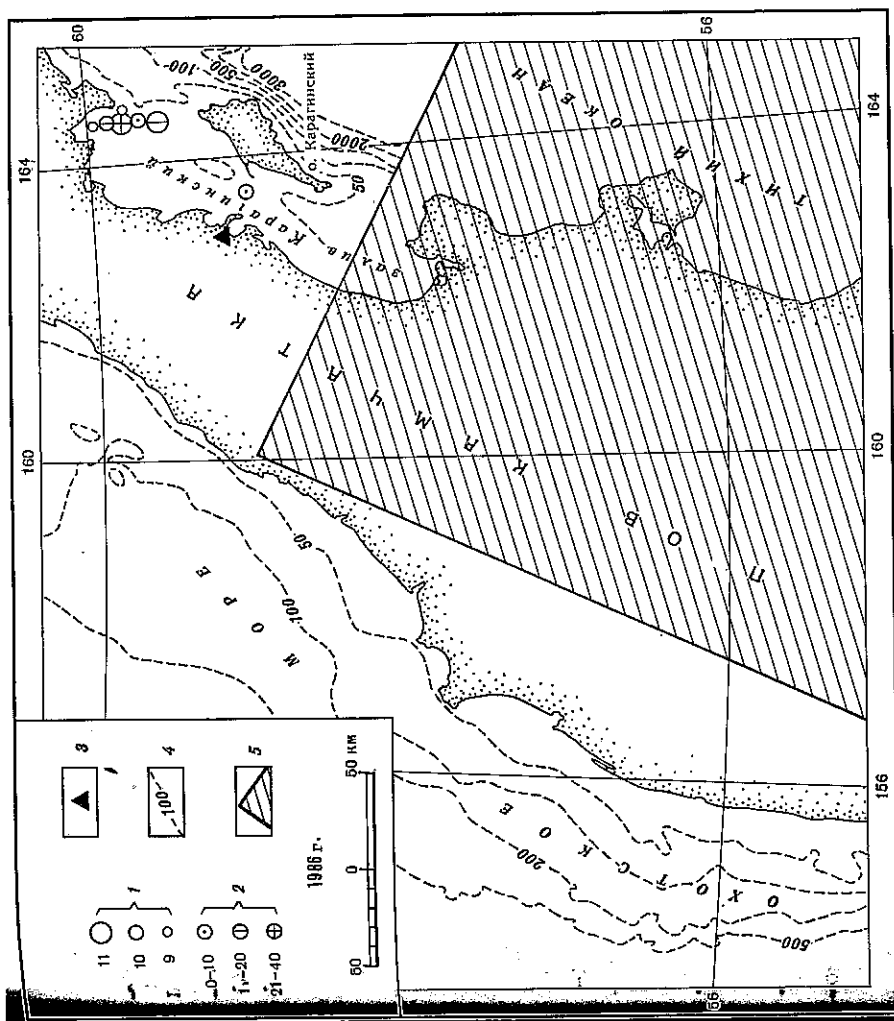
### Сейсмичность региона

Всего на территории региона определены типопентру Г398 землетрясений (табл. Г, рис. Г-3). Суммарная энергия текущего года составила 1,3·10<sup>14</sup> Дж, что близко к длительным среднегодовым оценкам. Кarta сейсмической активности А10 приведена на рис. 4.

Наибольшие magnитуды землетрясений этого года были равны: МЛН-6,2, МРУ-5,9; максимальная интенсивность проявления землетрясений на побережье Камчатки 5 баллов, на о-ве Беринга 3 балла.

Анализ вертикального разреза вдоль сейсмобокальной зоны секторов 4-13 на рис. Г показывает, что очаги заполняют в основном пространство глубин от 20 до 60 км на протяжении от юга Камчатки до Камчатского моря (см. рис. 3). Севернее Камчатского моря очаги группируются в слое 0-20 км. Слой 60-100 км заполнен менее равномерно. Имеются отдельные скопления очагов между Авачинским и Камчатским заливами. Слой 100-150 км заполнен на большом протяжении (табл. Г).

156



Р и с. 2. Карта эпицентров, не вошедших в рамки рис. Г  
1 — энергетический класс землетрясения К; 2 — глубина очага, км; 3 — сейсмичность; 4 — изобаты, м; 5 — рамка карты рис. 1

жеции (от южной оконечности Камчатки до Камчатского залива), хотя и более разноголосично. Очаги на глубинах 150-200 км наблюдаются в основном западнее Кронштадского полуострова.

Изолиния А10-1 (см. рис. 4) оконтуривает три участка области выхода сейсмокальвильной зоны на дно океана: один большой, включающий область Камчатского залива на севере и Авачинский залив на юге, и два малых, близ южной оконечности п-ова Камчатка и близ мыса Камчатского. Изолиния А10-2 обрисовывает область наибольшей интенсивности сейсмических процессов этого года: Кронштадский залив и примыкающие к нему участки подводных проложений полуостровов Кронштадского и Шилукского. Максимум сейсмической активности, равный трем, отмечен на подводном продолжении Кронштадского полуострова. Курило-Камчатский и Алеутский желоба характеризуются сравнительно низкой сейсмической активностью, не выше А10-0,5. Лишь на западном склоне Курило-Камчатского желoba на протяжении каждой части Кронштадского залива отмечается один локальный максимум А10=0,2 в

157

Таблица 1

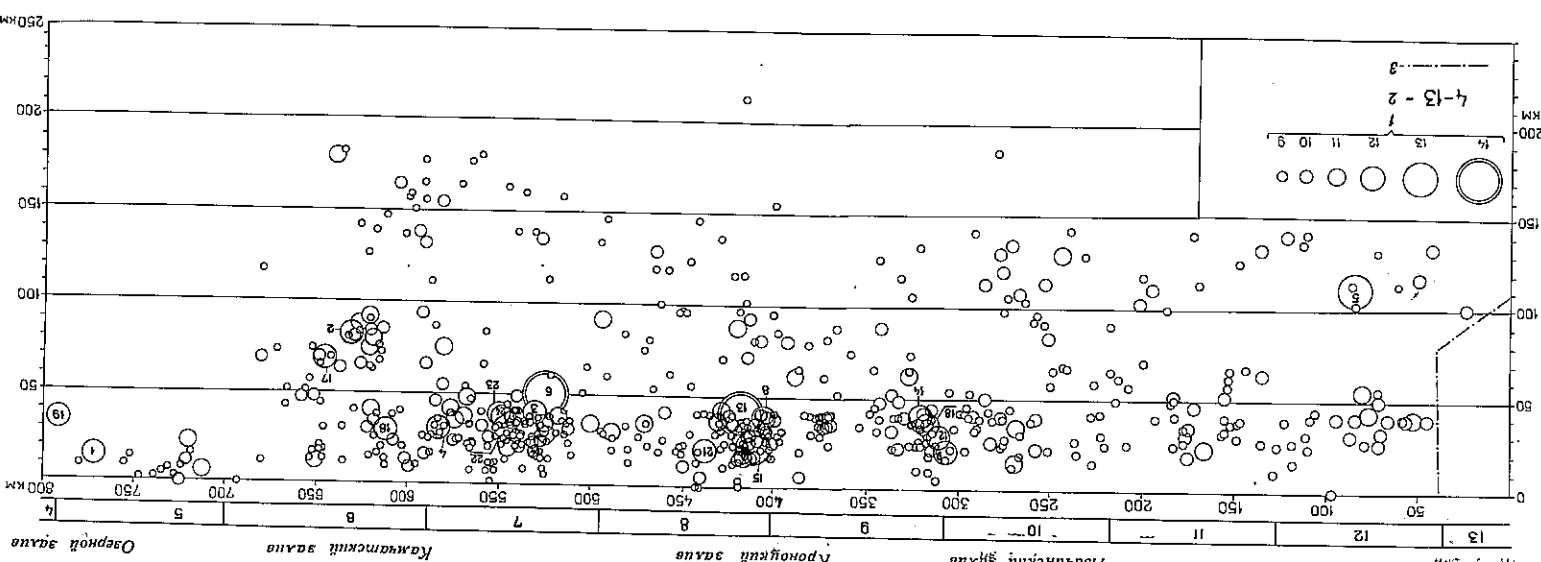
Распределение числа землетрясений по энергетическим классам  $K_F$   
и суммарной сейсмической энергии по сейсмическим зонам

н/п	Зона	$K_F$	К				Ф	$\lg E_F$	(лк)	$\chi$
			8	9	10	11				
1	Регион в целом	10	569	549	195	60	20	2	3	1398
2	Алеутский и Курило-Камчатский глубоководные желоба (зона I)	10	46	13	3	-	1	63	I4, I	0,50 ( $h=0$ -100 км)
3	Курило-Камчатская фокальная зона, глубина 0-59 км (зона II)	10	80	28	12	1	2	123	I3,9	0,47
4	Курило-Камчатская фокальная зона, глубина 60-150 км (зона III)	10	38	11	2	1	-	52	I2,9	0,59

Рис. 3. Вертикальный разрез вдоль Курило-Камчатской сейсмо-фокальной зоны районов 4-13  
— энергетический класс зем-  
летрясения  $K_F$ ; 2 — номер района;  
3 — границы района;  
районе хребта Чумрак. Общий уро-  
вень сейсмической активности ре-  
гиона за год был близок к сред-  
нему. Для сравнения на рис. 5  
показан ход годовых величин суммарной энергии и числа зем-  
летрясений с  $K_F \geq 10,5$  за 1962-  
1985 гг. Среднегодовая оценка этих параметров для трех основ-  
ных сейсмоактивных зон приведе-  
на в табл. 2. Можно видеть, что  
оценки параметров за 1986 г. на-  
ходятся в рамках среднеквадра-  
тических отклонений от средних  
оценок. Анализ наклона графика  
повторяемости по зонам (см.  
табл. 1) показывает, что в тек-  
ущем году наблюдалась относите-  
льный дефицит слабых землетрясе-  
ний для Курило-Камчатской сейсмо-  
фокальной зоны на глубинах 0-59  
км и сильных землетрясений для  
зон I и III.

В течение года было зарегистрировано 25 сильных землетрясений с  $K_F \geq 11,5$ : 21 — на глубинах 0-59 км, 4 — глубже 60 км. В пространстве очаги этих зем-  
летрясений распределены следую-  
щим образом: 4 — в пределах глубоководных желобов и их скло-  
нов, 14 — в области выхода Курило-Камчатской сейсмофока-  
льной зоны на дно океана, 3 —

на склоне Командорской хребто-  
ни Берингова моря и один очаг (глубокий) на территории И-ова Камчатка. Отмечается относитель-  
но возрастная по сравнению с предыдущим пятилетием доля оча-  
гов сильных землетрясений в пределах областей выхода сейсмо-  
фокальной зоны на дно океана.



158

Среднегодовые оценки суммарной энергии  $E_F$  и числа землетрясений  $N$  с  $K_F \geq 10,5$  за 1962-1985 и 1986 гг.

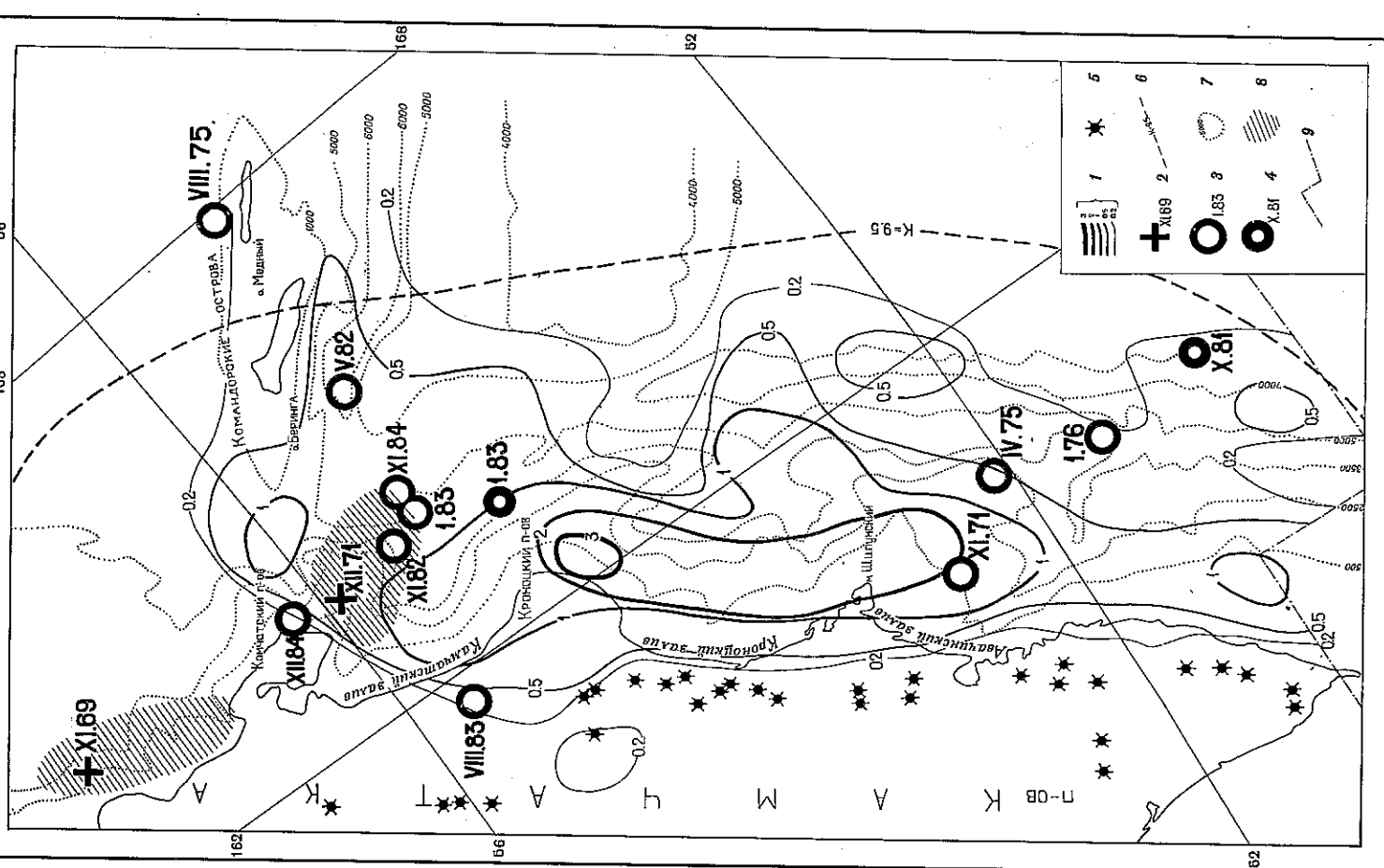
Номер зоны	Сейсмоактивная зона	1986 г.			1986 г.		
		$\lg N$	$\sigma$	$\lg E_F$	$\sigma$	$\lg N$	$\sigma$
I	Курило-Камчатский и Алеутский глубоководные желоба в их склонах	1,46	0,22	13,45	0,52	1,23	13,7
II	Курило-Камчатская фокальная зона (глубины 0-59 км)	1,62	0,23	13,90	0,32	1,54	13,9
III	Курило-Камчатская фокальная зона (глубины 60-300 км)	1,17	0,19	13,51	0,82	1,20	12,9

Для 20 сильных землетрясений определены механизмы очагов (рис. 6). На уровне  $K_F > 12,5$  типы подвижек в очагах землетрясений соответствуют регионализации напряженного состояния региона по материалам 1964-1982 гг. [2].

На рис. 7 и в табл. 3, 4 приведены оценки очаговых параметров для 21 сильного землетрясения. Абсолютное большинство очагов (кроме № I2) по величине сейсмического момента находится в рамках соотношения момента-магнитуда, полученного для региона в [3].

Сильные землетрясения и их пространственное распределение  
Наиболее сильным в этом году было землетрясение № 10, произошедшее на стыке Алеутского и Курило-Камчатского желобов 2 мая в 10 ч 30 мин (MLN-6,2,  $MW=6,3$ ),  $15^{\circ}N$  (Н.М.) = 18,7, глубина очага 20 км. Оно сопровождалось небольшой серией афтершоков с  $K_F=9+12$  на глубинах 14-54 км. Самый последний афтершок (№ II) произошел 18 мая. Примечательно, что это был самый сильный и самый глубокий афтершок. Уже не в первый раз в регионе наблюдается подобное явле-  
ние: самый сильный афтершок является завершающим.

Рис. 4. Карта сейсмической активности



На восток от очага № 10, в районе Командорских островов, землетрясений не отмечалось; там уже третий год сильные землетрясения отсутствуют. На юг от очага № 10, вдоль оси Курило-Камчатского желоба и его склонов, отмечено два очага (№ 8, 20). Землетрясение № 8 произошло 19 апреля в 17 ч 56 мин (МЛН=5,0) на западном склоне желоба напротив Кронштадтского залива на глубине 38 км. Подводка сбросовая; логарифм сейсмического момента = 16,7. Землетрясение в течение месяца (с 20 марта) предшествовала фуршковая серия из 42 слабых ( $K_f = 8,5 \pm 1,0$ ) землетрясений на глубинах 0-41 км. Афтершоков этого землетрясения не отмечалось. Одиночный очаг (№ 20) зарегистрирован 26 сентября в 20 ч 29 мин МРУ=5,2 (глубина 40 км) на восточном склоне желоба на широте Кронштадтского залива. Подводка в очаге имела характер взбрососдвигта. Логарифм сейсмического момента 15,8. Очаг характеризуется низкой ведущей сориентировкой напряжений (7 кПа).

В пределах Курило-Камчатской фокальной зоны сильные события распределенынеравномерно. Близ южной оконечности п-ова Камчатка 2 марта в 03 ч 14 мин МРУ=5,6 отмечено землетрясение № 5, сейсмический момент 16,8 (глубина 3 км). В литосферном слое Южной Камчатки, вдоль Аванянской залив, сильных землетрясений не отмечено. Четыре сильных события (№ 9, 12, 14, 18) произошли в разное время на подводном продолжении Шилукского полуострова на глубинах 21-40 км. Очаги № 9, 14, 18 характеризуются взбросовыми подвижками. Для очага № 12 механизм не определен. Все четыре очага были одиночными событиями. Интервал магнитуд МЛН=4,1-5,2, логарифм сейсмических моментов 15,9-16,3.

Высокой активностью характеризуется Кроноцкий залив. Здесь отмечено три сильных землетрясения (№ 13, 15, 21) на глубинах 20-40 км. Все три события одиночны. Интервал магнитуд МЛН=4,1-5,0, логарифм сейсмических моментов 15,9-17,2. Очаги № 13 и 15 характеризуются взбросовыми подвижками. Землетрясение № 17 июня (№ 13) ощущалось в г. Петропавловске силой 5 баллов.

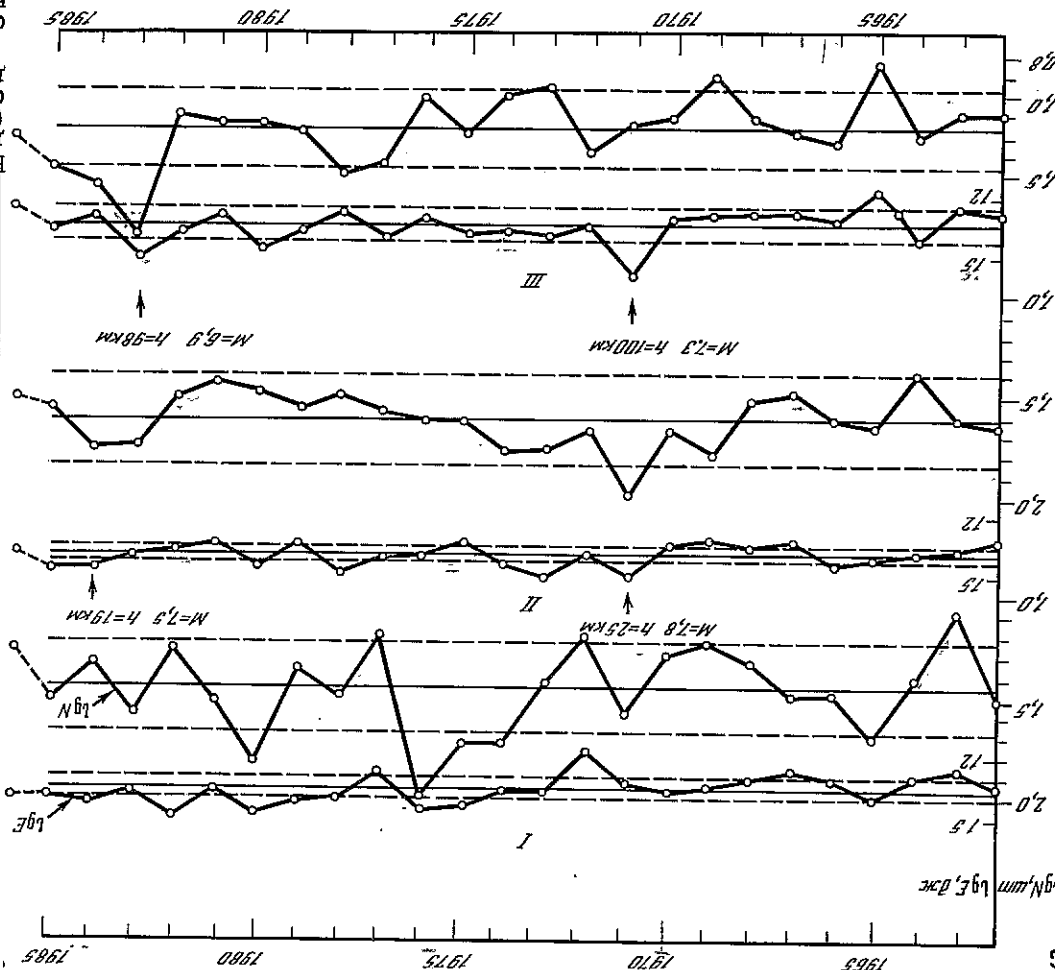
Восточнее Кроноцкого полуострова уровень сейсмической активности был наименее высок. Здесь произошло пять сильных землетрясений (№ 3, 6, 22-24) на глубинах 33-50 км, в том числе второе по силе в этом году (МЛН=5,4, логарифм сейсмического момента № 17,7) взбросовое землетрясение I апреля (№ 6), ощущавшееся в пос. Кроноци филией 5 баллов. Интенсивный рой землетрясений на глубинах 14-40 км произошел 8-21 октября. Три наиболее сильных землетрясения были отмечены 12 октября (№ 22-24). Все три имели сильные энергетические ощущения ( $K_f = II, 7 \pm 1,2, 2$ , МЛН=4,0-4,7, М<sub>0</sub>=16,4±17,2). Два восточных очага (№ 23, 24) характеризуются взбросовыми подвижками, западный очаг № 22 имеет сбросовую подводку. В Камчатском заливе отмечено четыре сильных одиночных землетрясения (№ 2, 4, 16, 17) на глубинах 29-83 км. Очаги № 2 и 17 характеризуются взбросовыми подвижками, очаг № 16 - сбрососдвиговый. Магнитуды МРУ не выше 5,1. Далее на север отмечен ряд одиночных землетрясений по юго-западной окраине Командорской котловины Берингова моря (очаги № 1, 7, 19). Глубины очага

11. Зак. 1298

	Home- steader series	Major Mecahn (Micro), Mecahn (Macro)	Dperm, y min	$\Delta_s$	A <sub>s</sub>	Tin mpdogpa	$\Sigma_{0,10^{-5}}$ M.c	$\Sigma_{Tn, R_{\theta}}$ M.c	$\Sigma_{0,10^{-5}}$ R <sub>ep</sub>																
I	0I.0I	22.10	II,8	MAI	7,70	303	GKI	I,848	0,028	0,6647	0,125	I,599	0,250	0,277	0,2522	0,144	3,522	0,277							
5	03.02	03.14	12,8	MAI	7,41	221	GKI	2,736	0,018	2,359	0,144	3,522	0,250	0,277	0,144	2,025	0,810	0,057	I,776	0,102					
6	0I.04	13.40	13,6	"	8,27	317	GKI	9,46	0,51	0,4	338	GKI,GKI	7,362	0,018	2,602	0,144	3,522	0,250	0,277	0,144	2,025	0,810	0,057	I,776	0,102
7	12.04	22.15	II,5	MAI	8,18	305	GKI	I,635	0,31	0,4	235	GKI	I,841	0,089	2,239	0,089	5,089	0,045	0,093	0,089	5,045	0,093	I,776	0,102	
8	19.04	17.56	II,5	MAI	7,46	324	"	4,62	226	"	1,493	0,089	I,557	0,089	3,83	0,089	5,089	0,045	0,093	0,089	5,045	0,093	I,776	0,102	
9	29.04	03.41	II,6	MAI	8,19	328	GKI	I,87	266	GKI,GKI	14,96	0,146	0,146	0,183	0,089	1,243	0,089	5,089	0,045	0,093	0,089	5,045	0,093	I,776	0,102
10	02.05	10.30	II,7	"	8,63	312	GKI,GKI	I,13,79	239	GKI,GKI	13,79	0,1250,740	0,026	294,8	0,054	296,9	0,128	0,049	0,075	0,089	0,049	0,075	I,776	0,102	
11	18.05	21.29	II,7	SKR	8,68	311	GKI	I,109	0,2	0,4	6,889	0,089	I,723	0,089	0,635	0,089	0,635	0,089	0,089	0,089	0,089	0,089	I,776	0,102	
12	22.05	14.10	II,5	MAI	9,01	327	"	6,38	230	GKI	1,109	0,298	0,298	0,089	0,089	6,476	0,089	3,221	0,089	0,089	0,089	0,089	0,089	I,776	0,102
13	17.06	00.42	II,5	MAI	8,33	323	GKI,GKI	0,259	0,29	0,99	20,15	0,194	0,194	0,220	0,220	20,57	0,217	0,089	0,089	0,089	0,089	0,089	I,776	0,102	

*Cheropeltisphae xapertepenctinae* *Ctenomyscetes* *horni* (Gocá, B.M. Boonin, B.H. Humphreys)

T a g . i n u a 3



Homep benenptp kataly	Tara (ngeo,mech))	Bpmn,	Tm Gmo- Mecn)	A Gmo- Mecn)	P Bpmn,	R T = 20c	R T = 25c	R T = 30c	Quarzhe Mapametry Semiperiodic		Quarzhe Mapametry Semiperiodic	
									M	M	M	M
I	01.01	22 10	I4	10,4	4,4	16,9	10,2	36	0,2	0,9	0,9	0,9
5	02.03	03 14	III	11,8	10,4	5,6	16,9	10,2	36	0,2	0,9	0,9
6	01.04	13 40	50	13,6	10,5	5,4	17,5	17,5	9,3	163	2,4	6,1
7	12.04	22 15	59	11,5	9,7	4,1	16,4	17,7	17,5	1029	0,9	7,6
8	19.04	17 56	38	11,5	9,7	4,1	-	-	-	-	-	1,0
9	29.04	03 41	21	11,6	10,1	3,6	-	-	-	-	-	0,9
10	02.05	10 30	22	13,7	11,4	6,2	6,3	6,3	16,3	70	8,7	0,4
11	18.05	21 29	54	11,5	9,9	4,6	6,2	6,2	16,5	17,4	41	1,2
12	22.05	14 10	29	11,5	9,8	5,2	5,2	5,2	16,3	20,5	70	0,8
13	17.06	00 42	40	12,0	10,0	5,0	5,0	5,0	12,1	30	0,2	0,4
14	13.08	04 37	40	12,5	10,5	5,1	5,1	5,1	16,6	17,2	21	1,2,1
15	21.08	06 37	40	12,5	10,5	4,5	4,5	4,5	16,8	15,9	29	2,2
16	04.09	22 51	29	11,8	9,8	2,9	5,1	5,1	16,8	16,7	29	2,2
17	19.09	13 44	68	12,3	10,6	-	-	-	16,8	9,8	29	2,2
18	21.09	23 38	36	12,0	10,0	3,8	5,3	5,3	15,7	15,4	134	2,6
19	23.09	11 41	34	12,3	10,8	5,2	5,7	5,7	16,6	9,9	134	2,6
20	26.09	02 29	40	11,9	10,7	3,5	5,2	5,2	15,8	16,6	7	7,7
21	02.10	21 37	20	12,1	10,4	3,5	4,8	4,8	16,5	17,2	11	0,6
22	12.10	03 40	20	12,2	10,0	4,7	5,1	5,1	17,0	17,2	24	0,2
23	12.10	03 58	33	12,2	10,0	4,7	5,1	5,1	11,9	11,9	24	0,2
24	12.10	03 41	37	11,8	9,5	4,7	4,0	4,0	16,4	16,5	25	1,1,1

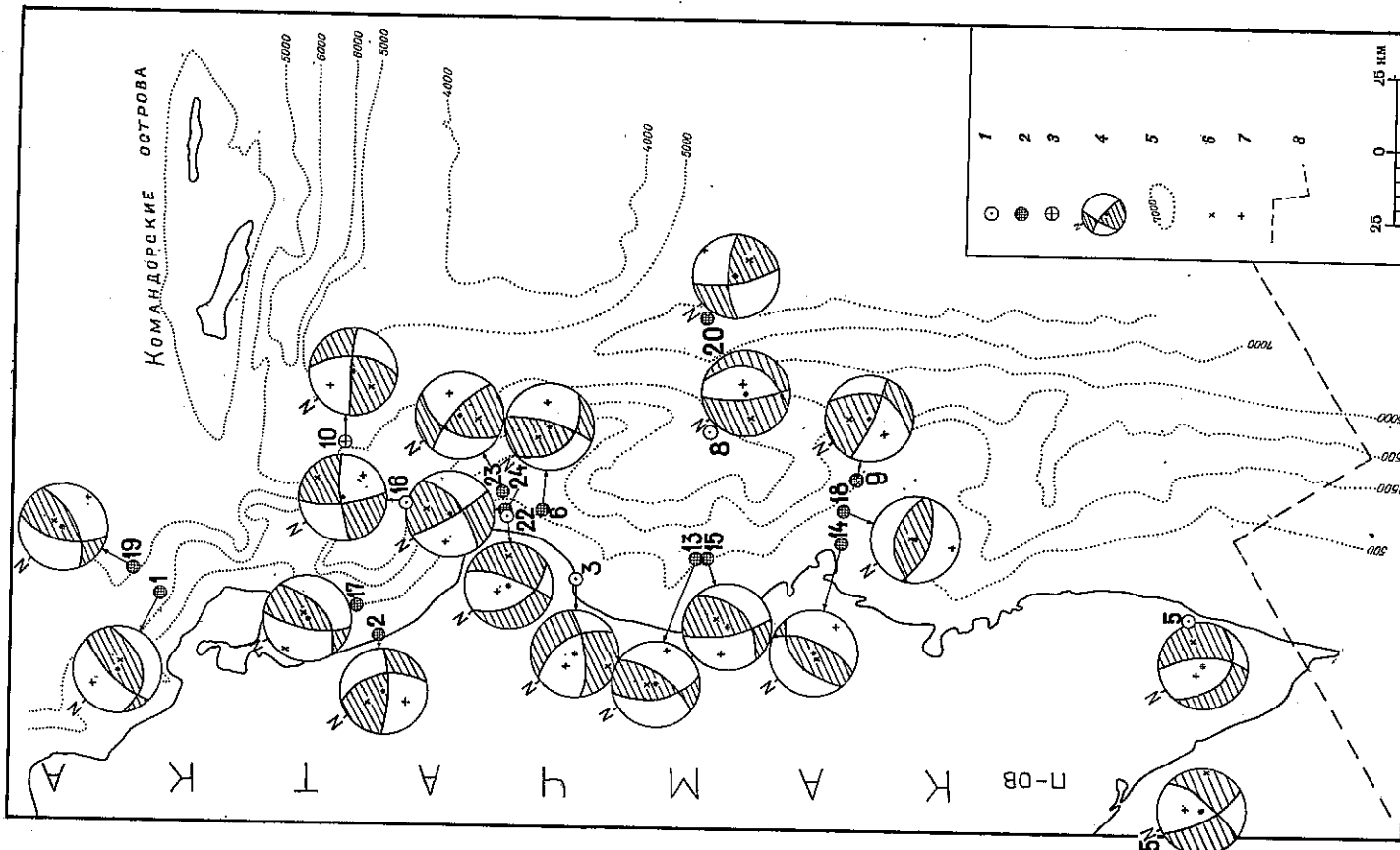
Tabelle 4

Homep benenptp kataly	Tara (ngeo,mech))	Bpmn,	Tm Gmo- Mecn)	A Gmo- Mecn)	P Bpmn,	R T = 20c	R T = 25c	R T = 30c	Quarzhe Mapametry Semiperiodic		Quarzhe Mapametry Semiperiodic	
									M	M	M	M
I	13.08	04 37	12,0	MAI	8,74	329	GKI	"	R <sub>64</sub>	R <sub>64</sub> , M <sub>C</sub>	R <sub>64</sub> , M <sub>C</sub>	R <sub>64</sub>
14	04.09	06 37	12,5	MAI	8,33	227	GKI	"	R <sub>64</sub>	R <sub>64</sub> , M <sub>C</sub>	R <sub>64</sub> , M <sub>C</sub>	R <sub>64</sub>
15	21.08	22 51	11,8	SKR	8,33	323	GKI, GKM	0,355	0,24	0,4	0,4	0,62
16	04.09	22 51	12,5	MAI	8,33	227	GKI, GKM	0,355	0,24	0,4	0,4	0,245
17	19.09	13 44	12,8	SKR	6,02	323	GKI, GKM	0,273	0,273	0,273	0,273	0,243
18	21.09	23 38	12,0	PEI	3,36	221	GKI, GKM	0,252	0,252	0,252	0,252	0,271
19	23.09	11 41	12,3	SKR	8,95	323	GKI, GKM	1,105	0,617	0,202	0,901	0,271
20	26.09	20 29	11,9	PEI	4,44	244	GKI, GKM	1,444	0,26	0,26	0,26	0,208
21	02.10	21 37	12,1	MAI	8,49	321	GKI	0,527	0,195	0,195	0,195	0,274
22	12.10	03 40	12,2	SKR	2,48	276	GKI	0,527	0,196	0,196	0,196	0,274
23	12.10	03 58	11,8	MAI	8,36	316	GKI	0,527	0,196	0,196	0,196	0,274
24	12.10	03 41	11,7	SKR	2,61	234	GKI, GKM	0,108	0,33	0,4	0,45	0,274

164

Tabelle 3 (okohahma)

**Рис. 6. Механизм землетрясений**  
 1-3 типы поимок в очагах землетрясений (1 - сбрососдвиг, 2 - взбрососдвиг, 3 - сдвиг); 4 - стереограмма механизма очага (заштрихована область вступлений волн скважин, не зашлипленный волн разражения);  
 5 - изобаты, м; 6-7 - ориентация осей напряжений (6) и скважин (7);  
 8 - границы региона. Номер соответствует нумерации землетрясений в региональном каталоге



14-59, магнитуды Mw=5, 6-5, 7, сейсмические моменты 16, 4-16, 6. Подушки в очагах № 1, 9 взбросовые. Следует отметить также серию из шести землетрясений 2-5 баллов. При этом для восьми из них записано велосигнальными либо акселерограммами (табл. 5). Максимальное ускорение зарегистрировано на станции Крононка при землетрясении 1 апреля (№ 6). Инструментальные оценки интенсивности, приведенные в составе табл. 5, большей частью превышают макро-сейсмические оценки.

#### Макросейсмические данные и регистрация сильных движений

За год было зарегистрировано 49 опущенных землетрясений интенсивностью 2-5 баллов. При этом для восьми из них записано велосигнальными либо акселерограммами (табл. 5). Максимальное ускорение зарегистрировано на станции Крононка при землетрясении 1 апреля (№ 6). Инструментальные оценки интенсивности, приведенные в составе табл. 5, большей частью превышают макро-сейсмические оценки.

Таблица 5  
Данные регистрации сильных движений в 1986 г.  
(сост. В.П. Митякин)

№ п/п	Дата	Время, ч мин	Код	Станции сильных движений		Параметр	Балл	
				МСО	ССРС			
1	09.02	16 50	10,6	Крононка		E I,0	0,1	12,8
2	02.03	03 14	12,8	Паукетка		N 0,26	0,66	13,1
3	09.03	19 31	10,5	Крононка	E 0,35	E 0,1	5,0	3
4(6)	01.04	13 40	13,6	"	E 4,5	222,5	0,09	II,3
5(13)	17.06	00 42	13,5	Крононка	E 1,45	85	0,09	II,3
				"	E 1,8	0,33	II,4	5
				Институт	E	4I,2	0,33	4-5
6	22.06	03 13	10,7	о. Беринга	N	0,11	0,09	13,5
7(15)	21.08	06 37	12,5	Крононка	E	0,48	42,5	0,07
8	30.09	08 42	10,7	"	E	0,2	0,07	II,1

Причина. Номера в скобках соответствуют нумерации сильных землетрясений в региональном каталоге и на рис. 1

Авторы пользуются случаем выразить свою признательность руководству ОМСИ ИМГИГ и СВКИИ ДВНЦ АН СССР, предоставивших сейсмограммы станций СКР и МАИ для построения спектров сейсмических волн камчатских землетрясений.

## Л и т е р а т у р а

1. Федотов С.А., Зодин В.М., Гордеев Е.И. и др. Землетрясения Камчатки и Командорских островов // Землетрясения в СССР в 1985 году. М.: Наука, 1988. С. 155–169.
2. Зодин В.М. Механизм очагов землетрясений и сейсмогеоморфическое изображение Камчатско-Командорского региона в 1964–1982 гг. // Вулканология и сейсмология. 1987. № 6. С. 78–92.
3. Зодин В.М., Иванова Е.И., Чиркова В.Н. Очаговые параметры землетрясений Камчатки и Командорских островов // Вулканология и сейсмология. 1984. № 2. С. 83–103.
4. Шебалин Н.В. Об оценке сейсмической интенсивности. Сейсмическая шкала и методы измерения сейсмической интенсивности. М.: Наука, 1975. С. 87–109.

УДК 550.348.436

Л.А.Воробьева, Р.С.Юрова

### ЗЕМЛЕТРЯСЕНИЯ СЕВЕРО-ВОСТОКА

Региональная сеть сейсмических станций не изменилась [1].

Методика обработки осталась прежней, но применялся уточненный голограф для Северо-Востока Т.А.Андреева, который отличен от старого содергит времена пробега преломленных и отраженных волн [2,3].

В регионе зарегистрировано 506 местных землетрясений, у 63 определены основные параметры; в каталог входит 43 землетрясения с  $K_p \geq 8.6$  для юго-западной части Северо-Востока и все зарегистрированные на Чукотке (табл. I, рис. I). Все землетрясения, включенные в каталог, коровье. Сейсмичность региона, несмотря на малое количество землетрясений, была выше 1985 г. [4].

Сравнительный анализ сейсмичности по районам подтверждает, что наиболее сейсмоактивные районы № 4 (Верхнек-Чукотская складчатая область) и № 2 (Охотско-Чукотский вулканогенеральный пояс). Активизировался район № 5 (Берингово море), где произошло самое сильное землетрясение с  $K_p=13.0$ . Ко-рамкоко-Камчатская кайнозойская складчатая область была асейсмична, в районах № 1 (Охотское море) и № 6 (Чукотское море) сейсмические события были единичны (см. табл. I).

В 1986 г. зарегистрировано три землетрясения: 3 апреля в районе № 2 ( $K_p=10.9$ ), ощущалось в Магадане, поселках Арманы, Радужный сильн 3–4 балла;

26 декабря в районе № 4 ( $K_p=10.4$ ) ощущалось в пос. Неликоба – 2 балла. Наи-

более интересное сейсмическое событие произошло 19 октября в 18 ч 31 мин ( $K_p=13.0$ , МРУА =5.6). Сообранные макросейсмические сведения об этом землетря-

сении немногочисленны, что связано с редкой сетью населенных пунктов и их односторонним расположением. Землетрясение ощущалось в пос. Стремени – 4–5

баллов, в г. Анаштур, поселках Провидения, Кунлагран – 4 балла, Нов. Чаплино – 3 балла. На основании полученных данных сделано описание этого землетрясе-ния [5] и построен механизм очага по методике [6] (рис. 2).

Рис. 7. Соотношение очаговых параметров  
а – распределение эпцентров очагов, для которых проводилось определение очаговых параметров; о – соотношение сейсмического момента, определенного по спектрам Р-волн, и характерной частоты; в – соотношение сейсмического момента, определенного по спектрам поверхностных волн Галбен, и магнитуды МН; г – эпцентры землетрясений; 2–4 – данные определенные по сейсмическим станциям МАГ (2), РЕГ (3), SKR (4). Номер соответствует нумерации землетрясений в региональном каталоге

